

第二章作业:

Risingdragon

1. 设置 IMU 仿真代码中的不同参数，生成 allen 方差标定曲线:

使用的工具为 imu_utils,通过在网上查阅相关资料的。仿真程序的参数设置在 vio_data_simulation-ros_version 的 param.h 文件中。设置如下

```
// noise
double gyro_bias_sigma = 0.00005;
double acc_bias_sigma = 0.0005;

//double gyro_bias_sigma = 1.0e-5;
//double acc_bias_sigma = 0.0001;

double gyro_noise_sigma = 0.015; // rad/s
double acc_noise_sigma = 0.019; // m/(s^2)

double pixel_noise = 1; // 1 pixel noise
```

标定后的 allen 方差曲线为:

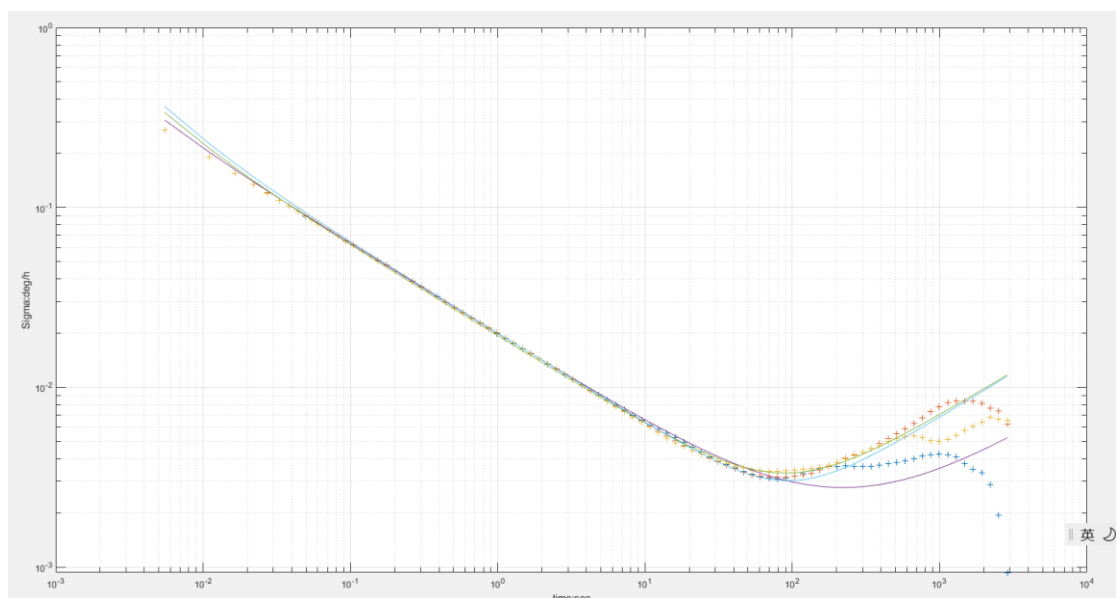


图 1 加速度的方差曲线

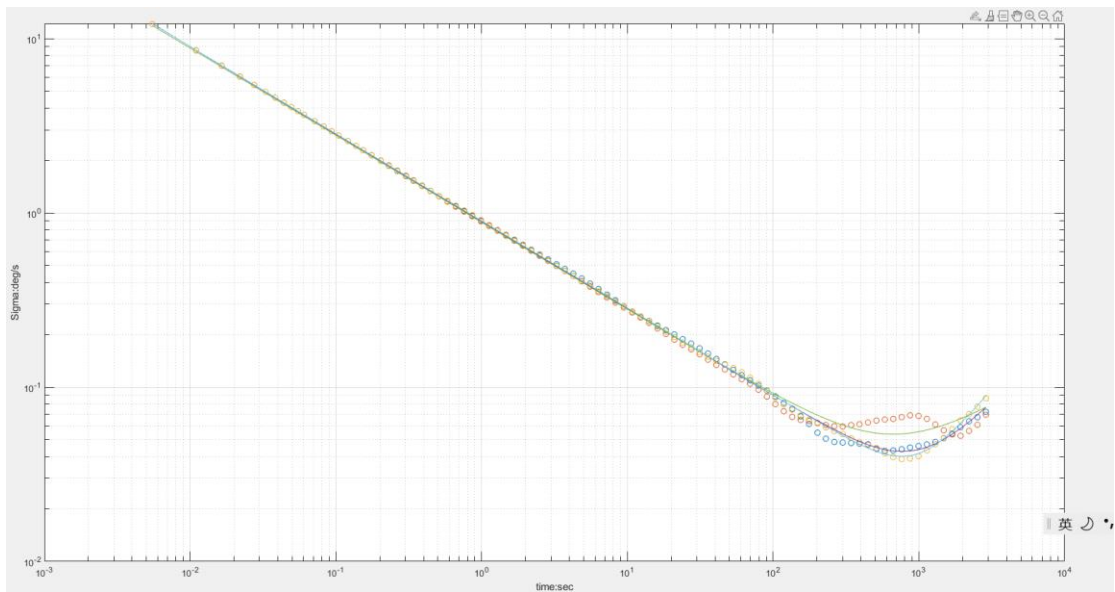


图 2 角速度的方差曲线

标定结果

表格 1 陀螺仪的标定结果

| 陀螺仪 | 设定值 | 标定值 |
|-----|---------|----------|
| 白噪声 | 0.015 | 0.0148 |
| 偏置 | 0.00005 | 0.000056 |

表格 2 加速度计标定结果

| 加速度计 | 设定值 | 标定值 |
|------|--------|--------|
| 白噪声 | 0.019 | 0.0183 |
| 偏置 | 0.0005 | 0.0002 |

2.用欧拉积分替换中值积分

代码如下：

```
for (int i = 1; i < imudata.size(); ++i) {

    MotionData imupose = imudata[i];

    MotionData imu1 = imudata[i-1];    //上一个时刻的 IMU 信
    息

    Eigen::Quaterniond dq;

    Eigen::Vector3d          dtheta_half          =
    0.5*(imupose.imu_gyro+imu1.imu_gyro) * dt /2.0;          //w =
    1/2(w1+w2)

    dq.w() = 1;

    dq.x() = dtheta_half.x();

    dq.y() = dtheta_half.y();

    dq.z() = dtheta_half.z();

    dq.normalize();

    /// 中值积分
```

`Eigen::Quaterniond Qwb1 = Qwb * dq; //Qwb1 当前时刻的姿态四元数，Qwb 为上一时刻的`

`Eigen::Vector3d acc_w = 0.5*(Qwb1*imupose.imu_acc+Qwb*imu1.imu_acc)+gw; //中值法的公式，这里 gw 取符号选取根定义有关`

`Pwb = Pwb + Vw * dt + 0.5 * dt * dt * acc_w;`

`Vw = Vw + acc_w * dt;`

`Qwb=Qwb1;`

结果：

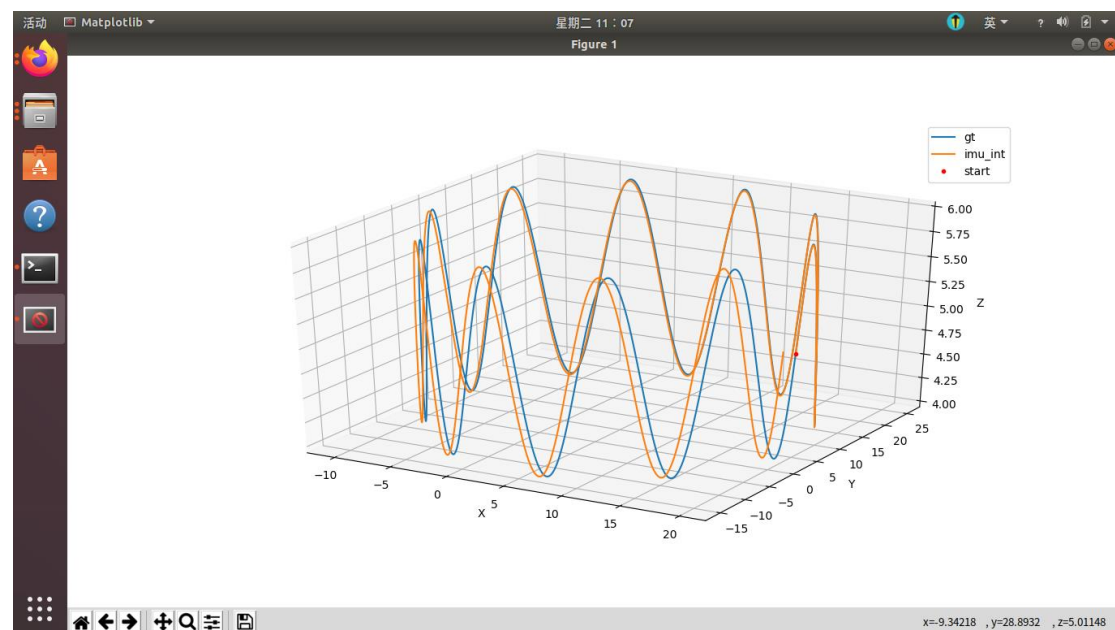


图 3 欧拉法

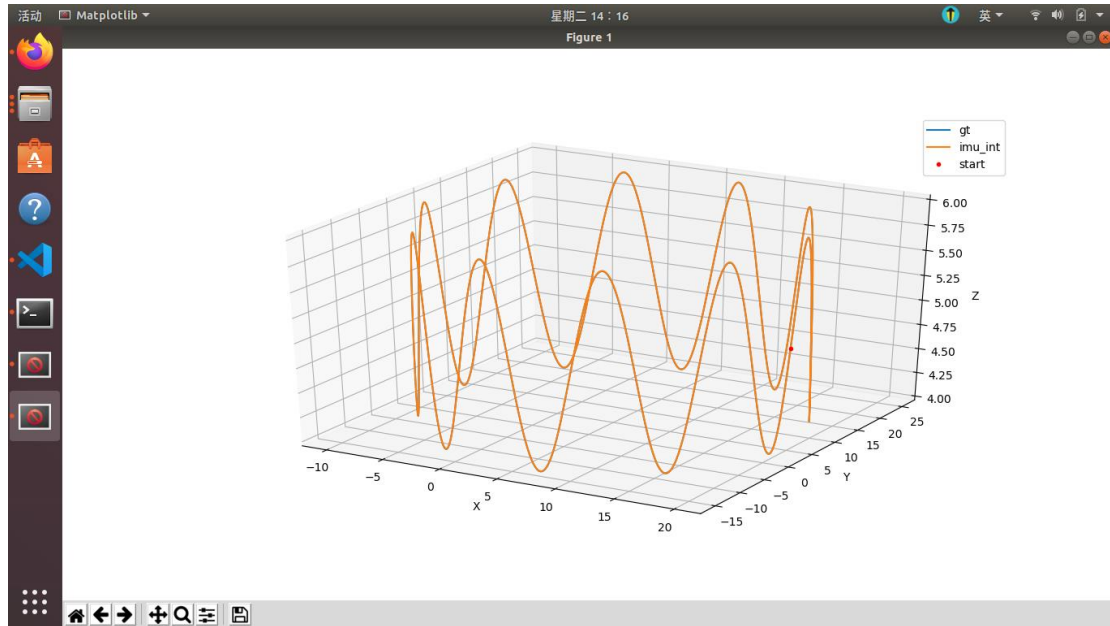


图 4 中值法

对比上述两个轨迹可得，中值法得到的轨迹更加贴近真实轨迹。

3.阅读从已有轨迹生成 imu 数据的论文，撰写总结推导：

总的来讲，b 样条法可以让我们得到所需要的轨迹的方程，得到轨迹方程之后进行微分操作得到需要的 IMU 数据。接下来进行详细的分析：

相机的位姿表示：

两帧之间的相机位姿可以用 4×4 的齐次变换矩阵 Q 表示为：

$$T_{ba} = \begin{bmatrix} R_{ba} & t_{ba} \\ \mathbf{0}^T & 1 \end{bmatrix}, T_{ba} \in \text{SE3}, R_{ba} \in \text{SO3}$$

式中 T_{ba} 表示坐标系 a 到坐标系 b 之间的坐标变换矩阵，即 $x^b = T_{ba}x^a$; R_{ba} 为旋转变换矩阵， t_{ba} 为平移变换矢量，即 a 坐

标系远点在 b 坐标系下的坐标 \mathbf{a}_b 。进一步地， a 、 b 两帧之间的角速度和线速度可以表示为 $\xi^\wedge = \frac{1}{\Delta t} \log(\mathbf{T}_{ba}), \xi^\wedge \in \mathbb{R}^{4 \times 4}$ 。

SE3 上的曲线表征了刚体在空间中的运动轨迹，因此选取拟合曲线类型时应考虑如下几点：1) 具有 C^2 连续性，即二阶导与待拟合曲线一直；

2) 可通过控制点实现局部控制，从而便于在线运行；

3) 具有最小的力矩 (torque) Cubic B-Splines 是在 \mathbb{R}^3 上进行轨迹表示的常用方法，但其在涉及旋转插值时的性能会出现严重下降（例如无法保证 C^2 连续性），因此本文使用改进的累积 Cubic B-Spline 方法来表示连续时间轨迹。

Cumulative cubic B-Splines 曲线

累积基函数

具有 k 个控制点的 $k-1$ 阶 B-Spline 曲残的标准基函数表示为：

$$\mathbf{p}(t) = \sum_{i=0}^n \mathbf{p}_i B_{i,k}(t)$$

式中 $\mathbf{p}_i \in \mathbb{R}^N$ 为时间 $t_i, i = 0, 1, \dots, n$ 处的控制点， $B_{i,k}(t)$ 称为 B-Spline 的基函数，其是一个标量值，表示不同控制点的权重且满足 De Boor-Cox 回归形式：

$$B_{i,0}(t) := \begin{cases} 1, & t_i \leq t \leq t_{i+1} \\ 0, & \text{otherwise} \end{cases}$$

$$B_{i,k}(t) = \frac{t - t_i}{t_{i+k} - t_i} B_{i,k-1}(t) + \frac{t_{i+(k+1)} - t}{t_{i+(k+1)} - t_{i+1}} B_{i+1,k-1}(t)$$

式（1）又可进一步写成細积形式：

$$\mathbf{p}(t) = \mathbf{p}_0 \tilde{B}_{0,k}(t) + \sum_{i=1}^n (\mathbf{p}_i - \mathbf{p}_{i-1}) \tilde{B}_{i,k}(t)$$

式中 $\tilde{B}_{i,k}(t) = \sum_{j=i}^n B_{j,k}(t)$ 为累积其函数。

对式（2）求取反对称并进行利用矩阵的指数映射和对数映射性质有：

$$\mathbf{T}_{w,s}(t) = \exp\left(\tilde{B}_{0,k}(t) \log(\mathbf{T}_{w,0})\right) \prod_{i=1}^n \exp\left(\tilde{B}_{i,k}(t) \log(\mathbf{T}_{w,i-1}^{-1} \mathbf{T}_{w,i})\right)$$

为了简化问题的建模和求解，实际应用中我们通常假设 B-Spline 中的控制点是服从均匀分布的，即每个控制点之间的间隔固定为：

$$u(t) = \frac{t-t_i}{t_{i+1}-t_i}, u(t) \in [0,1)$$

时间微分：

$$\begin{aligned} \dot{\mathbf{T}}_{w,s}(u) &= \mathbf{T}_{w,i-1} (\dot{\mathbf{A}}_0 \mathbf{A}_1 \mathbf{A}_2 + \mathbf{A}_0 \dot{\mathbf{A}}_1 \mathbf{A}_2 + \mathbf{A}_0 \mathbf{A}_1 \dot{\mathbf{A}}_2), \\ \ddot{\mathbf{T}}_{w,s}(u) &= \mathbf{T}_{w,i-1} \left(\ddot{\mathbf{A}}_0 \mathbf{A}_1 \mathbf{A}_2 + \mathbf{A}_0 \ddot{\mathbf{A}}_1 \mathbf{A}_2 + \mathbf{A}_0 \mathbf{A}_1 \ddot{\mathbf{A}}_2 + 2(\dot{\mathbf{A}}_0 \dot{\mathbf{A}}_1 \mathbf{A}_2 + \dot{\mathbf{A}}_0 \mathbf{A}_1 \dot{\mathbf{A}}_2 + \mathbf{A}_0 \dot{\mathbf{A}}_1 \dot{\mathbf{A}}_2) \right), \\ \mathbf{A}_j &= \exp(\Omega_{i+j} \tilde{\mathbf{B}}(u)_j), \dot{\mathbf{A}}_j = \mathbf{A}_j \Omega_{i+j} \dot{\tilde{\mathbf{B}}}(u)_j, \\ \ddot{\mathbf{A}}_j &= \dot{\mathbf{A}}_j \Omega_{i+j} \dot{\tilde{\mathbf{B}}}(u)_j + \mathbf{A}_j \Omega_{i+j} \ddot{\tilde{\mathbf{B}}}(u)_j \end{aligned}$$

IMU 量测模型：

根据上述微分方程，给出了世界坐标系 w 下用 B-Spline 表示的位姿方程，将其变换到传感器坐标系下并添加对应的噪声项即可获得 IMU 的模拟输出。

$$\begin{aligned} \boldsymbol{\omega}_m &= (\mathbf{R}_{w,s}^T \mathbf{R}_{w,s}^T)^v + \mathbf{b}_\omega + \mathbf{n}_\omega \\ \mathbf{a}_m &= \mathbf{R}_{w,s}^T (\mathbf{t}_{w,s} + \mathbf{g}_w) + \mathbf{b}_d + \mathbf{n}_u \end{aligned}$$

